

## 不静定ばかりの横倒れ座屈

金沢大学工学部 正員 吉田 博  
 金沢大学工学部 正員 山森宏一  
 金沢大学工学部 学生員 龍沢 仁

## 1. まえがき

はりの横倒れ座屈に関する研究は、古くから多くの研究者によって進められ、これまでに弾性域のみならず、非弾性をも考慮した数値計算による解法が数多く発表されている。しかし、そのほとんどが静定ばかりを例にとっており、不静定ばかりの座屈強度を調べたものはその数が少く、塑性ヒンジが生ずるような荷重近傍で座屈が起きるような場合の座屈曲線を詳細に調べたものは極めて少いのが現状と思われる。これらのことふまえ、本報告では、細長比に対し座屈強度がどのように変化するか塑性ヒンジが生ずる荷重に近づき、その後の崩壊に至るまでの座屈曲線を調べるとともに、塑性ヒンジ部の横倒れ座屈に対するモデル化を提案する。

## 2. 解析

解析にあたっては、横変位  $u$ 、たわみ角  $\theta (=u')$ 、ねじれ角  $\phi$ 、ねじり率  $\rho (=d\theta/dx)$ 、せん断力  $S$ 、曲げモーメント  $M_y$ 、ねじりモーメント  $M_z$ 、およびバイモーメント  $M_w$ を状態量とした吉田、井本の用いた伝達マトリックス法<sup>1)</sup>を使った。数値計算には、図-1に示したようなモデルを用いる。このため、荷重状態により、塑性ヒンジの生ずる位置が異なり、ヒンジ部は次のようないくつかの境界条件を用いなければならない。

i) B点に塑性ヒンジが生じた場合（集中荷重の場合で  $\beta \leq \sqrt{2}-1$  の時、等分布荷重の時）

全塑性モーメントに達すると  $EI_y, EI_w$  は零になると想えられるので、塑性ヒンジ発生後は、B点は単純支持されまいと想えることができる。つまり  $u=\phi=M_y=M_w=0$  なる境界条件となる。

ii) C点に塑性ヒンジが生じた場合（集中荷重の場合で  $\beta \leq \sqrt{2}-1$  の時）

i)と同様に  $M_y, M_w$  は零になる。この場合、塑性ヒンジ部は図-2a)のようないくつかのモデルを考えると、左側のはり部材は  $u'=0$  となり、左端の境界条件は  $u=\phi=M_y=M_z=S=0$  となり、上述の行のマトリックスでは解析不能となる。そのため、図-2b)に示すような片持ばかりの先端部にバネ定数  $K$  なるねじりバネがついているものをモデルとして想えた。ただし、Kは左側の梁のねじり拘束に依存するものであり、つきのように求められる。ヒンジの左側では  $u''=0$  であり  $\lambda^2$  に満たす微分方程式は

$$\phi^{(4)} - \lambda^2 \phi'' = 0 \quad \text{ただし } \lambda^2 = (GK + R)/EI_w \quad (1)$$

となり、Kとは無関係になる。この式を積分して、状態量  $\phi, \rho, M_y, M_w$  の場合の格間伝達マトリックスを作り左端の自由度よりなる初期ベクトルをヒンジ左端へ伝えると、

$$\begin{bmatrix} \phi \\ \rho \\ M_y \\ M_z \end{bmatrix}_{n-1}^R = \begin{bmatrix} a_{11} & a_{12} \\ a_{21} & a_{22} \\ a_{31} & a_{32} \\ a_{41} & a_{42} \end{bmatrix} \begin{bmatrix} \phi \\ M_z \end{bmatrix}_1^L \quad (2)$$

となる。この点で  $M_w = 0$  であることを、ビニジの左右で  $\phi$  が等しいことを考慮すると、バネ定数  $K$  は

$$K = \frac{a_{31}a_{42} - a_{32}a_{41}}{a_{11}a_{42} - a_{12}a_{41}} \quad (3)$$

となり、ビニジ右の状態量は、自由度を  $u_n^L, \theta_n^L, \phi_n^L, \rho_n^L$  とすと次のようになる。

$$\begin{array}{l} \left[ \begin{array}{c} u \\ \theta \\ \phi \\ \rho \\ S \\ M_y \\ M_z \\ M_w \end{array} \right]_n^L = \left[ \begin{array}{cccc} 1 & 0 & 0 & 0 \\ 0 & 1 & 0 & 0 \\ 0 & 0 & 1 & 0 \\ 0 & 0 & 0 & 1 \\ 0 & 0 & -P & 0 \\ 0 & 0 & 0 & 0 \\ 0 & 0 & K-P\phi & M_w \end{array} \right] \left[ \begin{array}{c} u \\ \theta \\ \phi \\ \rho \end{array} \right]_n \end{array} \quad (4)$$

$h$ : 荷重からせん断中心までの距離  
 $A\bar{\phi}$ : ビニジ左と右せん断中心の差

### 3. 数値計算および考察

計算に用いたはりの断面は PWF31であり、 $E=30,000 \text{ ksi}$ 、完全弾塑性のガウス仮定した。荷重は、集中荷重、等分布荷重を用い、それぞれの計算結果を図-3、4に示した。図中、B線は図-1に示したはりの座屈曲線であり、A線は塑性ビニジ発生前と塑性ビニジの境界条件を用いて計算したのである。図より明らかのように座屈曲線は除々にA線に近づくではなく、第一塑性ビニジ発生荷重近傍にきり、急激に横ばいの状態となるが、A線とはなめらかに接しているのが理解できる。また塑性ビニジ発生後も、 $GK_t, EI_w$  に微少の数値をもたせ、塑性ビニジ前と同じ境界条件で解く従来の方法による結果もこの座屈曲線にはほとんど一致していることが確かめられたので、塑性ビニジの横倒れ座屈に対するモデル化と上述の方法が妥当であることがうかがわれる。

参考文献 1) 吉田・井本; “拘束を受けたはりの弾性および非弾性横倒れ解析”  
土木学会報告論文集 第202号 1972年12月

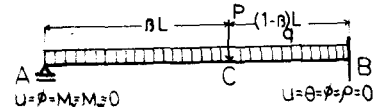


図-1 数値計算モデル

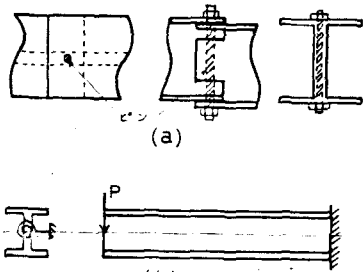


図-2 塑性ビニジ部モデルと境界条件を示すモデル

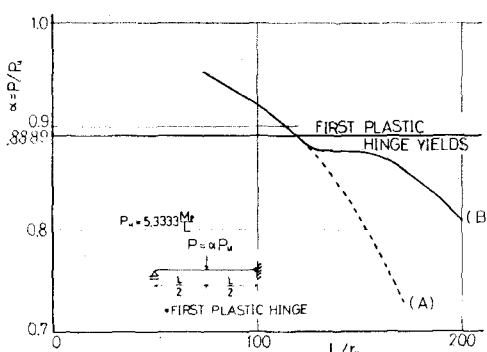


図-3 計算例I(集中荷重の場合)

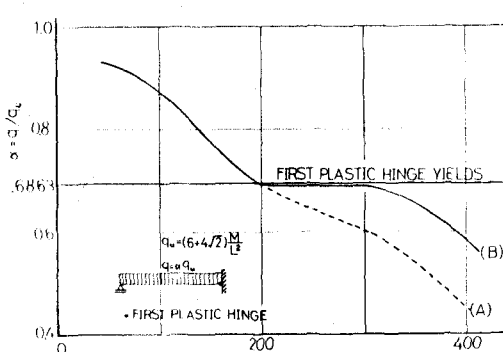


図-4 計算例II(等分布荷重場合)